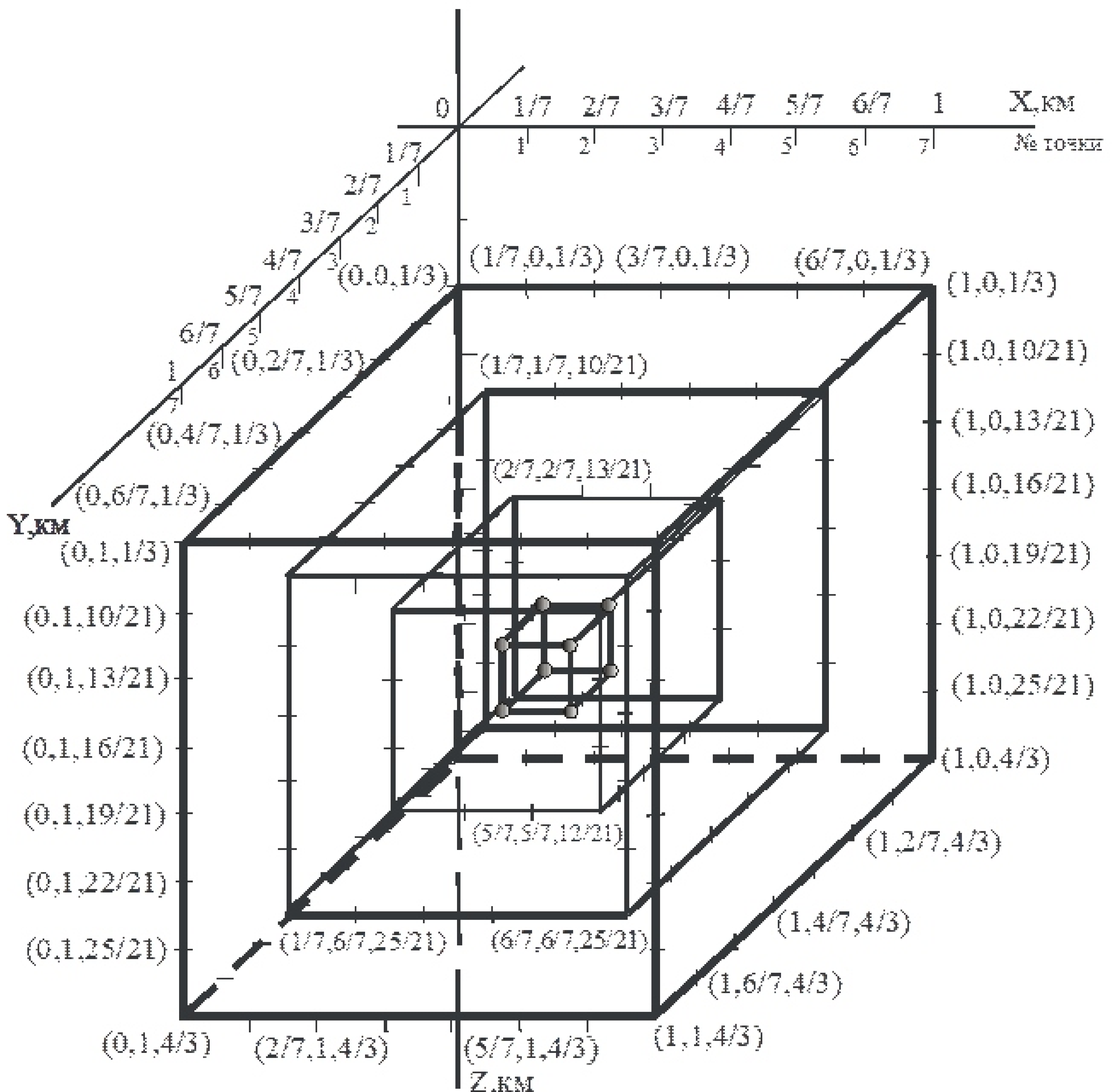


ПЛАКАТ 1/4. АЛГОРИТМЫ ВЫМЕТАНИЯ И КОНЦЕНТРАЦИИ МАСС ДЛЯ СИСТЕМЫ ИНКАПСУЛИРОВАННЫХ ОБЛАСТЕЙ.

ГЛАСКО Ю.В. НИВЦ МГУ.

$$V^h \quad V_1^h \quad V_2^h \quad V_3^h$$

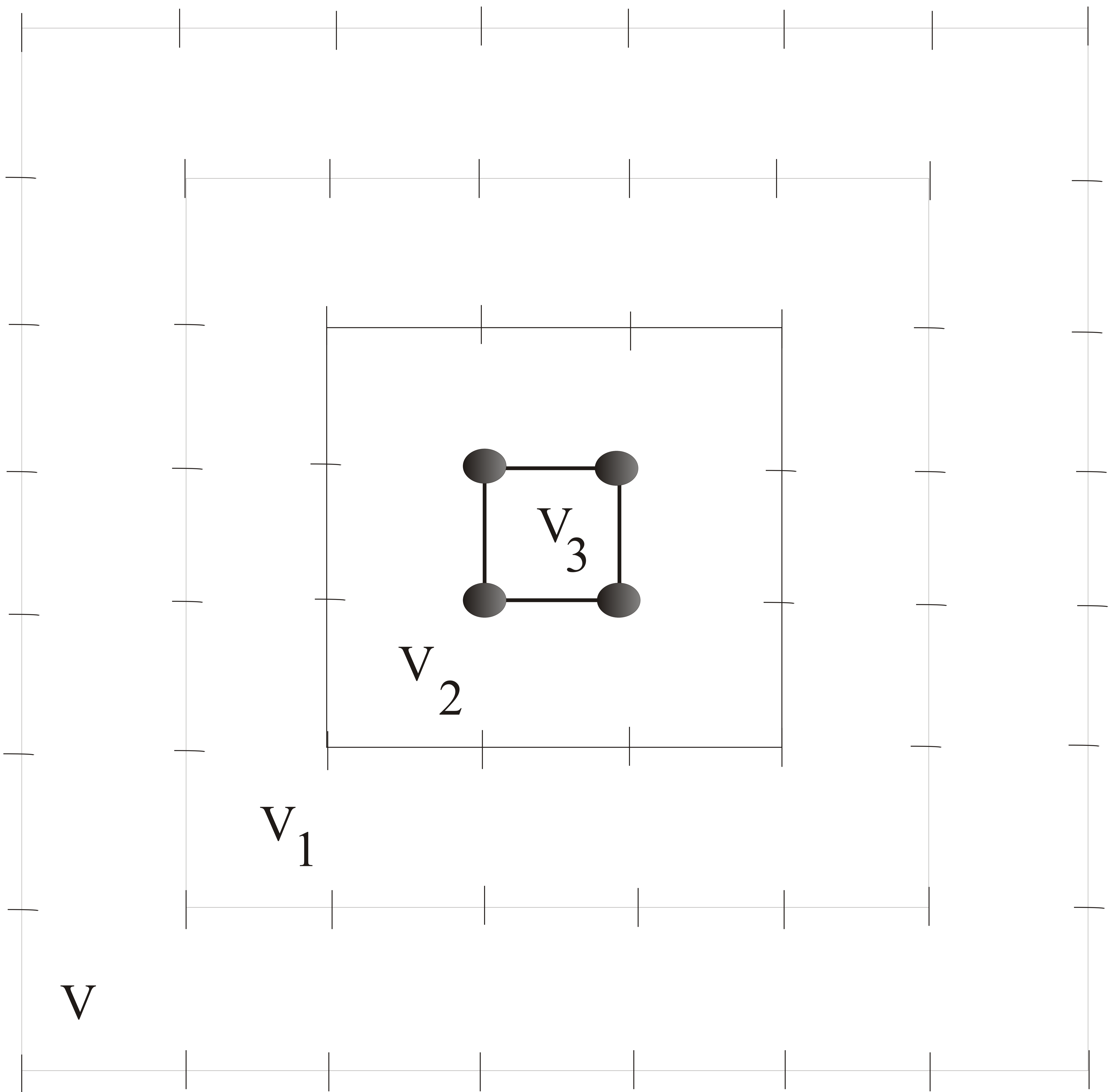
Рис. 1. Система 4-х инкапсулированных сеточных 3D кубов с внутренней сеточной областью V_3^h имеющей плотность 1 г/см^3 (1-логическое да).



ПЛАКАТ 2/4. АЛГОРИТМЫ ВЫМЕТАНИЯ И КОНЦЕНТРАЦИИ МАСС ДЛЯ СИСТЕМЫ ИНКАПСУЛИРОВАННЫХ ОБЛАСТЕЙ.

ГЛАСКО Ю.В. НИВЦ МГУ.

Рис. 2. Область-источник V_3^h задана на трехмерной сетке 8-ю узлами. Представлена 2D проекция системы вложенных кубов V^h с областью-источником V_3^h на сетке. Плотность источника 1 г/см^3 (или 1-логическое да). Рассматривается проекция на грани куба V^h - соответствующая грани куба V : $x=0$ либо $x=1$, либо $y=0$, либо $y=1$, либо $z=1/3$, либо $z=4/3$.



ПЛАКАТ 3/4. АЛГОРИТМЫ ВЫМЕТАНИЯ И КОНЦЕНТРАЦИИ МАСС ДЛЯ СИСТЕМЫ ИНКАПСУЛИРОВАННЫХ ОБЛАСТЕЙ.

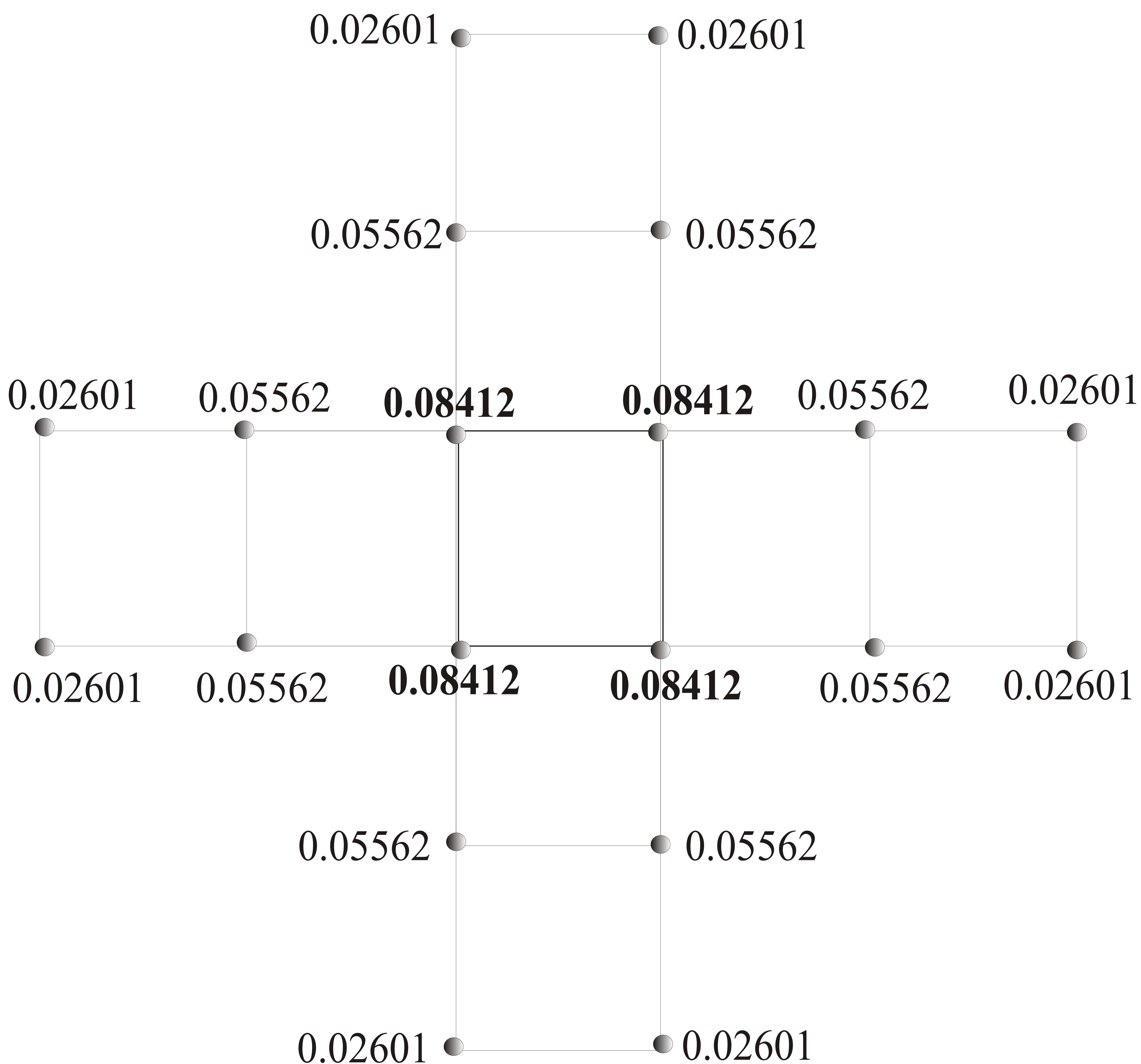
ГЛАСКО Ю.В. НИВЦ МГУ.

Проводим выметание плотности по А. Пуанкаре на основе 7-и точечной схемы.

Таб. 1. Распределение выметенных из V_3^h плотностей на каждой $V_s^h, s = 1, \dots, 6,$

0.00000	0.0	0.0	0.0	0.0	0.0	0.0	0.0
0.0	0.00942	0.01884	0.02601	0.02601	0.01884	0.00942	0.0
0.0	0.01884	0.03881	0.05562	0.05562	0.03881	0.01884	0.0
0.0	0.02601	0.05562	0.08412	0.08412	0.05562	0.02601	0.0
0.0	0.02601	0.05562	0.08412	0.08412	0.05562	0.02601	0.0
0.0	0.01884	0.03881	0.05562	0.05562	0.03881	0.01884	0.0
0.0	0.00942	0.01884	0.02601	0.02601	0.01884	0.00942	0.0
0.0	0.0	0.0	0.0	0.0	0.0	0.0	0.0

Рис.3. Центральное “плато” и крестообразная структура выметенных из V_3 плотностей равных 1 на каждой из 6-и граней V .



ПЛАКАТ 4/4. АЛГОРИТМЫ ВЫМЕТАНИЯ И КОНЦЕНТРАЦИИ МАСС ДЛЯ СИСТЕМЫ ИНКАПСУЛИРОВАННЫХ ОБЛАСТЕЙ.

ГЛАСКО Ю.В. НИВЦ МГУ.

Рис. 4. Стационарное “плато” от источника V_3^h . Изображена 2D проекция V^h на V^h . Изображены проекции крестообразной структуры на ребра 2D граней V^h .

